

# АНИЗОТРОПИЯ СПЕКТРОВ КОМБИНАЦИОННОГО РАССЕЯНИЯ СВЕТА, ИЗМЕРЕННЫХ В ПЛОСКОСТИ $xy$ , В НЕДВОЙНИКОВАННОМ МОНОКРИСТАЛЛЕ $\text{YBa}_2\text{Cu}_3\text{O}_{7-x}$

*O. V. Misochko\**

*Институт физики твердого тела Российской академии наук  
142432, Черноголовка, Московская обл., Россия*

Поступила в редакцию 10 июля 2001 г.

Исследована температурная зависимость анизотропии спектров фононного и электронного комбинационного рассеяния света, измеренных в плоскости  $xy$ , в монокристаллах  $\text{YBa}_2\text{Cu}_3\text{O}_{7-x}$ . Показано, что полносимметричные фононы, порождаемые смещениями ионов  $\text{CuO}_2$ -плоскости (моды 150, 340 и  $435 \text{ cm}^{-1}$ ), имеют знак параметра орторомбичности  $\gamma = (I_{yy} - I_{xx})/(I_{yy} + I_{xx})$ , противоположный знаку для фононов, порождаемых смещениями внеплоскостных ионов бария и мостикового кислорода (моды 120 и  $500 \text{ cm}^{-1}$ ). В сверхпроводящем состоянии величина параметра орторомбичности  $\gamma$  уменьшается в области малых частот, однако при этом ренормализация частоты моды  $340 \text{ cm}^{-1}$ , измеряемая из  $xx$ - и  $yy$ -спектров, совпадает с точностью до экспериментальной ошибки.

PACS: 73.61.-r, 74.72.Bk

## 1. ВВЕДЕНИЕ

Понимание того, каким образом сверхпроводимость модифицирует спектр комбинационного рассеяния света, было достигнуто Абрикосовым и Фальковским в их основополагающей работе [1]. Авторы [1] показали, что в сверхпроводящем состоянии возникает новый канал рассеяния, связанный с разрушением куперовских пар. В результате этого в спектре электронного комбинационного рассеяния возникает пик на частоте  $\Omega = 2\Delta$ , а рассеяние на частотах  $\Omega < 2\Delta$  отсутствует для сверхпроводника с изотропной щелью  $s$ -типа, даже если такое рассеяние существовало в нормальном состоянии. После открытия высокотемпературной сверхпроводимости комбинационное рассеяние света оказалось одной из методик, позволяющей получать информацию о таких фундаментальных параметрах, как величина и симметрия сверхпроводящей щели, энергия и затухание низкоэнергетических электронных возбуждений в различных областях ферми-поверхности, а также о величине электрон-фононного взаимодействия [2]. Типичный спектр комбинационного рассеяния высокотемпературного сверхпроводника

(ВТСП) состоит из достаточно интенсивного электронного бесструктурного континуума, на котором расположены относительно узкие фононные линии. Следует отметить, что этот электронный континуум в нормальном состоянии простирается до частот, превышающих 1 эВ [3], и не имеет пика на частотах  $v_F q$  ( $v_F$  — скорость на уровне Ферми, переданный импульс  $q \approx 1/\delta$ , где  $\delta$  — оптическая глубина проникновения). При переходе в сверхпроводящее состояние электронный континуум в своей низкочастотной части демонстрирует поляризационно-зависимое перераспределение и по позиции пиков электронного комбинационного рассеяния, связываемых с разрушением куперовских пар, можно сделать выводы не только о величине сверхпроводящей щели, но и о ее анизотропии и в ряде случаев о преимущественной симметрии [1, 2]. Следует, однако, отметить, что относительные изменения интенсивности электронного континуума невелики, что затрудняет точное определение позиций пиков. В некоторых ВТСП дополнительную информацию о величине сверхпроводящей щели можно также получить из эффекта ренормализации фона, связанного с антифазными смещениями ионов кислорода купратной плоскости [4]. Однако следует отметить, что большая вели-

---

\*E-mail: misochko@issp.ac.ru

чина электрон-фононного взаимодействия, обусловленная гофрировкой  $\text{CuO}_2$ -плоскостей и асимметрией кристаллического поля [5], хотя и частично ответственна за смягчение этой фононной моды в сверхпроводящем состоянии, не указывает на то, что данный фонон играет существенную роль в формировании сверхпроводящего состояния [6].

Хотя реальная симметрия ВТСП-кристаллов, как правило, ниже тетрагональной, для упрощения удобно использовать группы более высокой симметрии, что позволяет описать разные классы ВТСП единым образом, а также использовать то обстоятельство, что в большинстве теоретических моделей тетрагональная симметрия является доминирующей. Это упрощение оправдывается тем, что сверхпроводимость реализуется в купратных  $\text{CuO}_2$ -слоях с квадратной решеткой и отклонение от тетрагональности является кристаллографически малым. В приложении к электронному комбинационному рассеянию это тетрагональное приближение подтверждается тем, что большинство ВТСП-кристаллов различных классов при сходной степени допирования демонстрирует поразительное сходство спектров комбинационного рассеяния, когда последние регистрируются в системе координат, связанной с направлениями  $\text{CuO}$ -связей купратной плоскости. Так, для оптимально допированных ВТСП величина  $2\Delta/T_c$ , определяемая из полносимметричных  $A_{1g}$ -спектров и/или недиагональных  $B_{2g}$ -спектров, всегда несколько меньше (порядка 30%), чем аналогичное отношение, измеряемое из спектров  $B_{1g}$ -симметрии [2]. Возбуждения в случае  $B_{1g}$ -симметрии измеряются в  $x'y'$ -поляризации, в которой преимущественно зондируются части ферми-поверхности вдоль принципиальных осей [2] (здесь и в дальнейшем используются сокращенные обозначения Порто  $\alpha\alpha$  для различных поляризаций рассеяния, в которых первый символ определяет поляризацию возбуждающего света, а второй — рассеянного света. Волновой вектор фотонов всегда направлен вдоль оси  $z$  для спектров, получаемых с плоскости  $xy$ ). В спектрах  $B_{2g}$ -симметрии, которые измеряются в  $xy$ -поляризации, наибольший вклад дают области ферми-поверхности вдоль диагоналей зоны Бриллюэна. В поляризованных спектрах,  $e_i \parallel e_s$ , измеряется полносимметричная компонента, всегда имеющая примесь, соответствующую  $B$ -представлениям, которая зависит от ориентации электрического вектора в базисной плоскости [2]. Из этого следует, что сверхпроводящая щель  $\text{CuO}_2$ -плоскости анизотропна и достигает максимальных значений для на-

правлений обратного пространства, совпадающих с направлениями  $\text{CuO}$ -связей купратной плоскости. Более того, электронное комбинационное рассеяние для  $\text{Bi}_2\text{Sr}_2\text{CaCu}_2\text{O}_8$  как в нормальном, так и в сверхпроводящем состояниях следует правилам отбора тетрагональной группы [7], подтверждая, что основной вклад в рассеяние дают электронные состояния тетрагональной  $\text{CuO}_2$ -плоскости. В то же время ряд активных фононов спектра комбинационного рассеяния этого кристалла имеет явно выраженную анизотропию, связанную с одномерной модуляцией в  $\text{BiO}$ -плоскостях [7]. Можно ожидать, что для кристаллов  $\text{YBa}_2\text{Cu}_3\text{O}_{7-x}$ , в которых существуют одномерные цепочки, являющиеся токовыми каналами для носителей, ситуация может быть отличной. Орторомбичность фононных спектров  $\text{YBa}_2\text{Cu}_3\text{O}_{7-x}$  была зарегистрирована ранее [8], однако детальный анализ анизотропии фононных и электронных спектров комбинационного рассеяния отсутствует. Следует особо отметить сообщение о  $xy$ -анизотропии смягчения моды  $340 \text{ cm}^{-1}$ , из которого был сделан вывод о значительной анизотропии сверхпроводящей щели для  $x$ - и  $y$ -направлений [9]. Однако критический анализ упомянутой выше работы показал, что анизотропия смягчения является результатом некорректной обработки экспериментальных данных, а вывод о большом различии ( $> 20\%$ ) величины сверхпроводящей щели для  $k_x$ - и  $k_y$ -направлений в  $k$ -пространстве, скорее всего, не соответствует действительности [10].

В данной работе детально исследовано проявление орторомбичности (неэквивалентности кристаллографических  $x$ - и  $y$ -направлений) монокристаллов  $\text{YBa}_2\text{Cu}_3\text{O}_{7-x}$  в спектрах комбинационного рассеяния. Особое внимание уделено разделению фононной и электронной компонент рассеяния и температурной зависимости параметра орторомбичности, извлекаемого из сравнения спектров комбинационного рассеяния различных поляризаций.

## 2. ЭКСПЕРИМЕНТ И ОБСУЖДЕНИЕ РЕЗУЛЬТАТОВ

Спектры комбинационного рассеяния света регистрировались для недвойникованной  $ab$ -плоскости монокристаллов  $\text{YBa}_2\text{Cu}_3\text{O}_{7-x}$  в геометрии обратного рассеяния для области температур от 10 К до комнатной. Направление кислородных цепочек выбрано вдоль  $b$ , а декартова система координат  $x \parallel a$ ,  $y \parallel b$  и  $z \parallel c$ . Кристалл перед помещением в криостат был ориентирован по лауэграмме. Согласно магнит-

ным измерениям образец имел температуру сверхпроводящего перехода  $T_c = 92$  К, что свидетельствует о допировании близком к оптимальному. Спектры комбинационного рассеяния были получены с использованием тройного спектрометра, оснащенно-го многоканальным детектором. Возбуждение спектров осуществлялось одной из линий  $\text{Ar}^+$ -лазера ( $\lambda = 488$  нм), и во избежание перегрева образца, расположенного в криостате, плотность мощности не превышала  $10 \text{ Вт}/\text{см}^2$ . Место возбуждения (характерный размер лазерного пятна составляет примерно  $100 \text{ мкм}$ ) контролировалось с помощью микроскопической приставки, позволяющей возбуждать в различных измерениях одну и ту же недвойникованную область кристалла с точностью около  $10 \text{ мкм}$ . Более того, все спектры регистрировались при одной и той же ориентации электрического вектора  $\mathbf{E}$  рассеянного света (под углом  $45^\circ$  к входным щелям спектрометра), что осуществлялось при помощи поляризационной приставки и позволяло избежать дополнительной нормировки, обусловленной поляризационной зависимостью спектрометра.

В кристаллах  $\text{YBa}_2\text{Cu}_3\text{O}_{7-x}$ , обладающих орторомбической  $D_{2h}$ -симметрией, в спектре комбинационного рассеяния имеется 15 активных фононов, десять из которых имеют симметрию ниже симметрии кристаллической решетки. Орторомбичность кристаллов наиболее явно проявляется в случае недиагональных фононов, приводя к различию частот мод  $B_{2g}$ - и  $B_{3g}$ -симметрии, причем снятие тетрагонального вырождения наиболее выражено для фононных мод внеплоскостных ионов, а для недиагональных мод мостикового кислорода достигает  $100 \text{ см}^{-1}$  [8]. Пять полносимметричных фононов детектируются в поляризованных спектрах комбинационного рассеяния с частотами  $120, 150, 340, 435$  и  $500 \text{ см}^{-1}$ . Эти фононы порождаются смещениями вдоль оси с металлических ( $\text{Ba}$  и  $\text{Cu}^2$ ) и кислородных ( $\text{O}_2$ ,  $\text{O}_3$ , и  $\text{O}_4$ ) ионов [8]. Среди полносимметричных фононов мода  $340 \text{ см}^{-1}$ , порождаемая антифазными смещениями ионов кислорода из  $\text{CuO}_2$ -плоскости, имеет особые трансформационные свойства и детектируется не только в поляризованных  $xx$ -,  $yy$ - и  $x'x'$ -спектрах, но и в деполяризованном  $x'y'$ -спектре. Это показывает, что тензор

$$\begin{pmatrix} a & & \\ & b & \\ & & c \end{pmatrix}$$

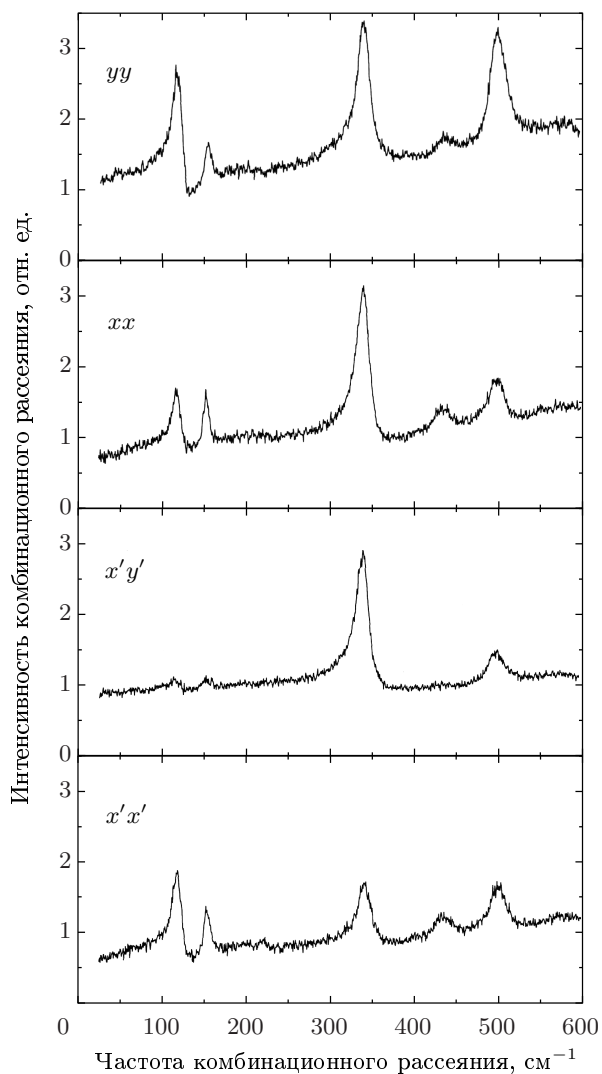
данной моды имеет вид  $a \approx -b$  и  $c \approx 0$ , практически

совпадая с тетрагональным  $B_{1g}$ -тензором

$$\begin{pmatrix} b & & \\ & -b & \\ & & \end{pmatrix}.$$

В отличие от синфазных смещений тех же самых ионов кислорода (мода  $435 \text{ см}^{-1}$ ) антифазные смещения не смешиваются со смещениями мостикового кислорода  $\text{O}4$  [5], а активность этой моды проистекает из нарушенной симметрии одиночной  $\text{CuO}_2$ -плоскости, вызываемой асимметрией химических связей и кристаллического окружения, и обеспечивается перетеканием заряда между ионами кислорода  $\text{CuO}_2$ -плоскости [5, 11].

На рис. 1 приведены спектры, полученные в различных поляризациях при возбуждении  $ab$ -плоскости недвойникованного монокристалла  $\text{YBa}_2\text{Cu}_3\text{O}_{7-x}$ . Спектр электронного комбинационного рассеяния наилучше убедительно свидетельствует об орторомбичности кристалла — он значительно более интенсивен для случая, когда электрический вектор  $\mathbf{E}$  параллелен цепочкам,  $\mathbf{E} \parallel \mathbf{b}$ . Орторомбичность кристалла также проявляется и для фононного рассеяния, поскольку относительные интенсивности фононных мод различны для спектров  $xx$ - и  $yy$ -поляризаций. Следует особо отметить, что мода  $340 \text{ см}^{-1}$  появляется в спектре  $x'x'$ -поляризации с достаточно большой интенсивностью, что свидетельствует о ее смешанной симметрии ( $A_{1g} + B_{1g}$ ) при использовании базиса тетрагональной группы  $D_{4h}$ . При чистой тетрагональной  $B_{1g}$ -симметрии вследствие равенства (по абсолютной величине) матричных элементов мода не может появиться в спектре  $x'x'$ -поляризации, поскольку след  $B_{1g}$ -тензора равен нулю. Отклонением от тетрагональной симметрии для данной фононной моды также является различие интенсивности моды в спектрах  $xx$ - и  $yy$ -поляризаций. Для того чтобы оценить орторомбичность кристалла из спектров комбинационного рассеяния, можно выделить орторомбичный вклад, вычитая спектр  $xx$ -поляризации из спектра  $yy$ -поляризации и нормируя эту разность на сумму упомянутых выше спектров:  $\gamma = (I_{yy} - I_{xx})/(I_{yy} + I_{xx})$ . Этот параметр орторомбичности приведен на рис. 2 для двух различных температур. Видно, что во всем диапазоне исследованных частот основной вклад в параметр орторомбичности дает электронная компонента рассеяния, а внеплоскостные фононы увеличивают параметр орторомбичности. Примечательно, что параметр орторомбичности, определяемый разно-



**Рис. 1.** Спектры комбинационного рассеяния различных поляризаций, полученные при  $T = 245$  К для монокристалла  $\text{YBa}_2\text{Cu}_3\text{O}_{7-x}$  при возбуждении базисной  $ab$ -плоскости

стью диагональных элементов полносимметричного тензора

$$\begin{pmatrix} a & & \\ & b & \\ & & c \end{pmatrix},$$

имеет различные знаки для фононных мод, порождаемых смещениями ионов  $\text{CuO}_2$ -плоскости, и для мод, в которых доминируют смещения ионов, расположенных вне купратной плоскости. Это очевидно при сравнении мод  $150$ ,  $340$  и  $435$   $\text{cm}^{-1}$ , порожденных смещениями ионов  $\text{CuO}_2$ -плоскости, с модами  $120$  и  $500$   $\text{cm}^{-1}$ , в которых доминируют смещения внеплоскостных ионов. В первом случае  $b > a$ , а во

втором случае  $b < a$ , что приводит к пику (провалу) параметра орторомбичности в области данных фононных частот. Отметим, что наши спектры не нормированы на глубину проникновения света, однако отсутствие подобной нормировки не может повлиять на результат, поскольку оптическая глубина проникновения для поляризации  $yy$  ( $E \parallel y$ ) меньше, чем для поляризации  $xx$  ( $E \parallel x$ ). Последнее означает, что отношение матричных элементов  $b/a$  больше, чем отношение соответствующих интенсивностей, и для поперечного сечения рассеяния параметр орторомбичности будет еще больше при сохранении своего знака. Интересно, что возбуждение фононов  $\text{CuO}_2$ -плоскости ведет к уменьшению параметра орторомбичности, приближая последний в области данных фононных частот к нулю. Это наиболее очевидно для мод  $150$  и  $340$   $\text{cm}^{-1}$ . Для моды  $435$   $\text{cm}^{-1}$  этот эффект менее выражен, что, скорее всего, обусловлено смешиванием смещений плоскостных и мостикового кислорода в данной моде [11]. Поскольку орторомбичность моды  $\text{Va}$  (так же, как и моды мостикового кислорода) обусловлена наличием  $\text{CuO}$ -цепочек и вызвана дополнительными электронными переходами в цепочечном комплексе  $\text{O}4-\text{Cu}1-\text{O}1$ , разрешенными только для поляризации  $E \parallel y$ , то, исходя из резонансной зависимости рассеяния, следует ожидать, что параметр орторомбичности будет уменьшаться при увеличении длины волны возбуждающего света [12]. В случае мод  $435$ ,  $340$  и  $150$   $\text{cm}^{-1}$  наличие кислородных цепочек приводит к неравномерной гофрировке  $\text{CuO}_2$ -плоскости (ионы кислорода  $\text{O}2$  и  $\text{O}3$  смешены вдоль оси  $c$  относительно иона  $\text{Cu}$  на различные расстояния), что, по-видимому, и является причиной анизотропии фононного отклика для различных полносимметричных поляризаций.

В сверхпроводящем состоянии параметр орторомбичности испытывает наибольшие изменения в области низких частот. Переход в сверхпроводящее состояние делает кристалл «более тетрагональным», т. е. параметр орторомбичности уменьшается. Это происходит за счет более сильного подавления электронного рассеяния и индуцированного сверхпроводимостью роста интенсивности фононов для  $yy$ -поляризации, хотя последний эффект и ослаблен в случае использованной в данных измерениях лазерной длины волны [13]. В то же время в пределах экспериментальной ошибки не наблюдается  $xy$ -анизотропия смягчения для моды  $340$   $\text{cm}^{-1}$ , см. рис. 3. При подгонке формы линии фонона использовалась стандартная формула Фано, а частота и затухание не фиксировались для различных поля-

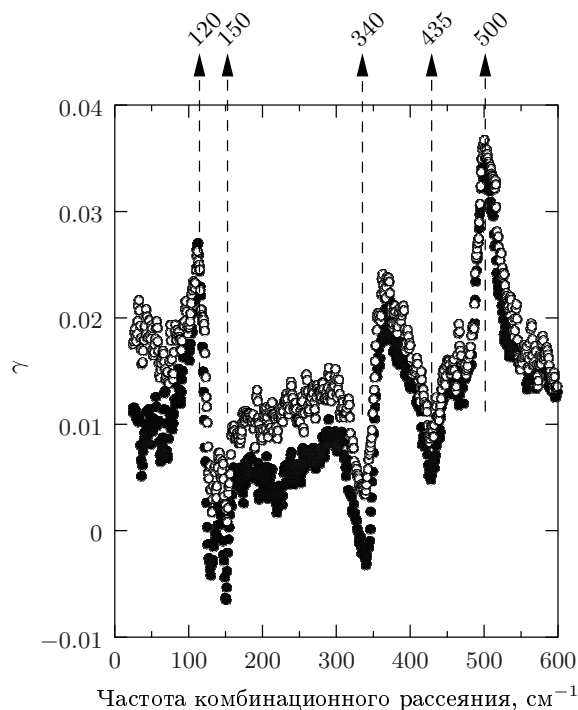


Рис. 2. Частотная зависимость параметра орторомбичности  $\gamma$  для двух различных температур:  $\circ - T = 295 \text{ K}$ ,  $\bullet - T = 10 \text{ K}$

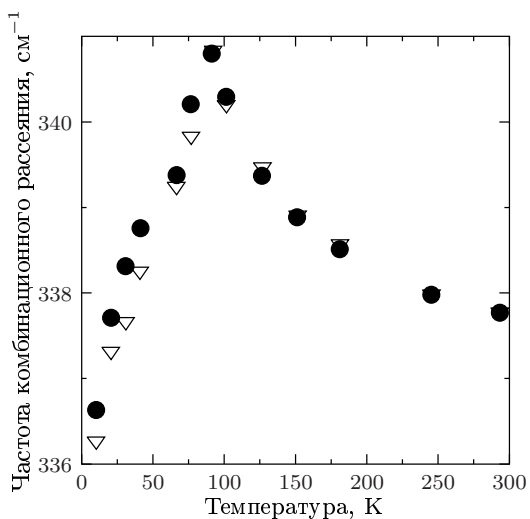


Рис. 3. Температурная зависимость частоты моды  $340 \text{ cm}^{-1}$ , полученная из  $xx$ -спектров ( $\nabla$ ) и  $yy$ -спектров ( $\bullet$ )

ризаций. Даже при этих условиях разница в частоте для  $xx$ - и  $yy$ -поляризаций не превышала экспериментальной ошибки (см. рис. 3) и совпадала с частотой, получаемой из спектров  $x'x'$ -поляризации

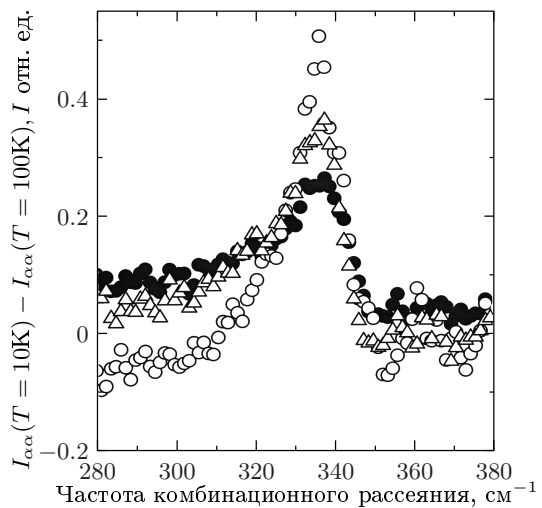


Рис. 4. Электронная полносимметричная компонента рассеяния, индуцированная сверхпроводимостью и полученная из  $xx$ -спектров ( $\bullet$ ),  $yy$ -спектров ( $\circ$ ) и  $x'x'$ -спектров ( $\triangle$ )

(последняя на рисунке не показана). Из элементарных физических соображений следует, что частота и затухание должны быть идентичны для затравочных параметров фонона для различных поляризаций [10], а подгоночными параметрами должны являться интенсивность электронного континуума и параметр асимметрии фононной линии, которые и будут различны для различных поляризаций, как в нормальном, так и в сверхпроводящем состояниях. Однако, поскольку это различие существует и в нормальном состоянии, это свидетельствует не о  $xy$ -анизотропии сверхпроводящей щели, а скорее, об орторомбичности исследуемой системы. Более того, позиции полносимметрических электронных пиков (но не их интенсивности, см. [7]), приведенных на рис. 4 для  $xx$ - и  $yy$ - и  $x'x'$ -спектров, совпадают. Это свидетельствует, как и в случае  $\text{Bi}_2\text{Sr}_2\text{CaCu}_2\text{O}_8$  [6], о совпадении величин сверхпроводящей щели для  $x$ - и  $y$ -направлений, по крайней мере с точностью до нескольких процентов. Отметим, что это не означает изотропии щели — сверхпроводящая щель ВТСП анизотропна, поскольку электронный пик комбинационного рассеяния  $x'y'$ -поляризации в сверхпроводящем состоянии расположен в области более высоких частот (примерно  $550 \text{ cm}^{-1}$ ), чем полносимметричные пики [2].

### 3. ЗАКЛЮЧЕНИЕ

Сравнение спектров комбинационного рассеяния недвойникованного монокристалла  $\text{YBa}_2\text{Cu}_3\text{O}_{7-x}$  показало, что параметр орторомбичности имеет противоположные знаки для фононов, порождаемых смещениями ионов  $\text{CuO}_2$ -плоскости, и смещениями ионов, расположенных вне купратных плоскостей. При этом вклад электронного комбинационного рассеяния в параметр орторомбичности доминирует и по знаку совпадает с вкладом внеплоскостных фононов. Показано, что в пределах экспериментальной точности ренормализация частоты моды  $340 \text{ см}^{-1}$  идентична для спектров  $xx$ - и  $yy$ -поляризаций, что в совокупности с данными электронного комбинационного рассеяния свидетельствует об отсутствии различия (в пределах экспериментальной ошибки) для величин сверхпроводящей щели в направлениях  $k_x$  и  $k_y$  обратного пространства.

Работа выполнена при финансовой поддержке РФФИ (проект № 01-02-16480).

### ЛИТЕРАТУРА

1. А. А. Абрикосов, Л. А. Фальковский, ЖЭТФ **40**, 262 (1961).
2. M. Cardona, Physica C **317–318**, 30 (1999); D. Einzel and R. Hackl, J. Raman Spectroscopy **27**, 307 (1996).
3. D. Salamon, P. Abbanonte, Ran Liu, M. V. Klein, W. C. Lee, D. M. Ginsberg, I. I. Tartakovskii, and B. W. Veal, Phys. Rev. B **53**, 886 (1996).
4. R. M. Macfarlane, H. Rosen, and H. Seki, Sol. St. Comm. **63**, 831 (1987); S. L. Cooper, M. V. Klein, B. J. Pasol, J. P. Rice, and D. M. Ginsberg, Phys. Rev. B **37**, 5920 (1988).
5. Э. И. Рашба, Е. Я. Шерман, Письма ЖЭТФ **47**, 482 (1988); Сверхпроводимость: Физика, Химия, Техника **2**, 91 (1989).
6. S. Y. Savrasov and O. K. Andersen, Phys. Rev. Lett. **77**, 4430 (1996); T. P. Devereaux, A. Virosztek, A. Zawadowski, M. Opel, P. F. Muller, C. Hoffmann, R. Philipp, R. Nemetschek, R. Hackl, A. Erb, E. Walker, H. Berger, and L. Forro, Sol. St. Comm. **108**, 407 (1998).
7. O. V. Misochko and G. Genda, Physica C **288**, 115 (1997); O. V. Misochko, Int. J. Mod. Phys. B **14**, 1501 (2000).
8. C. Thomsen, M. Cardona, B. Gegenheimer, R. Liu, and A. Simon, Phys. Rev. B **37**, 9860 (1988); В. Д. Кулагинский, О. В. Мисочко, В. Б. Тимофеев, ФТТ **31**, 220 (1989).
9. M. F. Limonov, A. I. Rykov, S. Tajima, and A. Yamamoto, Phys. Rev. Lett. **80**, 825 (1998); Phys. Rev. B **61**, 12412 (2000).
10. T. Strohm, V. I. Belitsky, V. G. Hadjiev, and M. Cardona, Phys. Rev. Lett. **81**, 2180 (1998).
11. O. V. Misochko, E. I. Rashba, E. Ya. Sherman, and V. B. Timofeev, Phys. Rep. **194**, 393 (1990).
12. О. В. Мисочко, Е. Я. Шерман, ЖЭТФ **99**, 330 (1991).
13. B. Friedl, C. Thomsen, H.-U. Habermeier, and M. Cardona, Sol. St. Comm. **78**, 291 (1991); O. V. Misochko, E. Ya. Sherman, N. Umesaki, K. Sakai, and S. Nakashima, Phys. Rev. B **59**, 11495 (1999).